

پاراتوبرکولوزیس در نشخوارکنندگان، جستجوی مولکولی بدنیال شواهد وجود مایکوباتریوم ایویوم زیرگونه پاراتوبرکولوزیس I و Type II در ایران

• کیوان تدین (نویسنده مسئول)

دکترای تخصصی، استادیار موسسه تحقیقات واکسن و سرم سازی رازی رئیس بخش

• نادر مصویری

دکترای تخصصی، استادیار مؤسسه تحقیقات واکسن و سرم سازی رازی رئیس بخش

• روح الله کشاورز

دانشجوی دکترا مؤسسه تحقیقات واکسن و سرم سازی رازی

• امیرحسین شاهمرادی

دکترای دامپرورشی مؤسسه تحقیقات واکسن و سرم سازی رازی

• راینک قادری

دکترای تخصصی مؤسسه تحقیقات واکسن و سرم سازی رازی معافون بخش

• محمد سخاوتی

دانشجوی دکترا مؤسسه تحقیقات واکسن و سرم سازی رازی

• مریم مهره کش حقیقت

دانش آموخته کارشناسی ارشد، مؤسسه تحقیقات واکسن و سرم سازی رازی

تاریخ دریافت: شهریور ۹۴ تاریخ پذیرش: مهر ۹۴

Email: k.tadayon@rvsri.ir



چکیده

پاراتوبرکولوزیس یک نوع التهاب گرانولوماتوز مزمун و پیشرونده غیر قابل درمان روده می باشد که توسط مایکوباتریوم ایویوم زیرگونه پاراتوبرکولوزیس (*Mycobacterium avium subsp. paratuberculosis* MAP) ایجاد می گردد. پاراتوبرکولوزیس در تمام جهان در میان نشخوارکنندگان دیده می شود. نخستین گزارشات پاراتوبرکولوزیس در ایران به دهه ۱۹۶۰ میلادی باز می گردد زمانی که بیماری در میان دام های وارداتی گاوداری شرکت نفت آبادان شناسایی گردید. در مطالعه حاضر تعداد ۱۳ جدایه کلینیکی MAP شامل ۴ جدایه گوسفندی و ۳ جدایه بزی از استان اصفهان همراه با ۳ جدایه گاوی از استان زنجان و ۲ جدایه گاوی از استان البرز در کنار دو سویه واکسینال MAP III & V و ۳۱۶F MAP توسط آزمایش های مستقل PCR-IS ۹۰۰، PCR-F ۵۷ به منظور تعیین هویت و PCR-Collins به استان اصفهان از نظر تکنیکی امکان اجرای هر سه آزمایش با استفاده از یک پروتکل واحد PCR فراهم گردید و علاوه بر این هویت همه ۱۵ جدایه کلینیکی و سویه واکسینال مورد بررسی به عنوان تیپ های گاوی MAP (Type II) (Type II) مورد تائید قرار گرفت. مشاهده انحصاری این تیپ در میان باکتری های تحت بررسی علیرغم بزرگتر بودن جمعیت گله گوسفند و بز کشور در مقایسه با گله گاو از نظر اپیدمیولوژیکی جالب توجه بنظر می رسد.

کلمات کلیدی: *Mycobacterium avium subsp. paratuberculosis*, IS900, F57, Type I, Type II

- Veterinary Journal (Pajouhesh & Sazandegi) No 110 pp: 89-95

Paratuberculosis in ruminants, a molecular search for traces of *Mycobacterium avium* subspecies *paratuberculosis* type I and type II in Iran

By: Tadayon, K., (Corresponding Author), Assistant Professor of Razi Vaccine and Serum Research Institute, Alborz, Iran. Mosavari, N., Assistant Professor of Razi Vaccine and Serum Research Institute, Alborz, Iran. Keshavarz, R., PhD Student of Razi Vaccine and Serum Research Institute, Alborz, Iran. Shahmoradi, AH., Razi Vaccine and Serum Research Institute, Alborz, Iran. Ghaderi, R., Razi Vaccine and Serum Research Institute, Alborz, Iran.; Sekhavati M., PhD Student of Razi Vaccine and Serum Research Institute, Alborz, Iran. and Mohrekesh Haghigheh, M., Razi Vaccine and Serum Research Institute, Alborz, Iran.

Email: k.tadayon@rvsri.ac.ir

Received: August 2015 Accepted: September 2015

Paratuberculosis caused by *Mycobacterium avium* subsp. *paratuberculosis* (Map) is a progressive, chronic and non-curable granulomatous enteritis. Paratuberculosis affects ruminants worldwide. The earliest reports on paratuberculosis in Iran date back to 1960's when the disease was diagnosed in imported animals of the Abadan Oil Company's farm. In the work presented here 13 field MAP isolates including 4 ovine and 3 caprine isolates from Isfahan, 6 bovine isolates from Zanjan and Alborz provinces plus 2 vaccinal strains of 316F and III & V were subjected to PCR-IS 900, PCR-F57 for identification and also PCR-Collins for typing. In consequence, while an identical PCR protocol was successfully developed to simultaneously perform all the three experiments, the 15 tested bacteria were all shown to be MAP Type II (cattle type). In epidemiological sense, when the size of national goat, sheep and cattle herds of Iran is taken into account, circulation of MAP Type II is intriguing.

Key words: *Mycobacterium avium* subsp. *paratuberculosis*, IS 900, F57, Type I, Type II

مقدمه

این طریق می دانند (۲). در طول یکصد سال گذشته نقش MAP در ایجاد بیماری کرون (Crohn) در انسان همواره مورد مناقشه علمی قرار داشته است (۱۸). بیش از ۱۲۸ مقاله علمی در ارتباط با اهمیت این باکتری به عنوان عامل بیماری مشترک انتشار یافته است (۳۱). کرون در انسان شbahت بسیار زیادی با پاراتوبرکولوزیس در نشخوارکنندگان دارد اما در شرایطی که در دامهای مبتلا بسادگی قابل ریدایی است شناسایی آن در انسان بسیار مشکل می باشد. با این حال یافته های حاصل از روش های مولکولی در شناسایی MAP نشانه های محکمی را در مورد نقش این باکتری در بروز بیماری Crohn نشان داده اند. علاوه بر این ها در حال حاضر نقش MAP به عنوان یک باکتری عامل ایجاد بیماری مشترک در ایجاد Blau syndrome و Hashimoto thyroiditis، sarcoidosis، و همچنین در توجه قرار گرفته است (۱۸).

در عمل علیرغم ضررهای اقتصادی گستردگی پاراتوبرکولوزیس در صنعت دامپروری ایران مبارزه با آن در اولویت برنامه های کشوری سازمان دامپزشکی قرار ندارد. با استناد بر گزارشات موجود به نظر می رسد در حال حاضر پاراتوبرکولوزیس با درجات مختلفی از نظر فراوانی در تمام و یا بسیاری از مناطق جغرافیایی ایران در میان گله های گاو، گوسفند و بز شیوع داشته باشد (۲-۱، ۸، ۱۶، ۲۰، ۲۷). (۲).

مايكوباكتریوم آویوم زیرگونه پاراتوبرکولوزیس *Mycobacterium avium* subsp. *paratuberculosis* (MAP) سبب ایجاد یک نوع خاص از التهاب مزمز روده نشخوارکنندگان می گردد که موقع آن تدریجی و بدون نشانه های کلینیکی می باشد (۳۲). پاراتوبرکولوزیس تقریباً در تمام جهان در میان نشخوارکنندگان دیده می شود (۳۳، ۱۵) و باعث بروز خسارت اقتصادی از طریق تلفات مستقیم دام های آلوده، کاهش میزان بهره و ری اقتصادی و اعمال محدودیت در تجارت دام زنده می گردد. پیشینه شناخت پاراتوبرکولوزیس به سال های نخستین قرن نوزدهم میلادی باز می گردد (۵). وجود پاراتوبرکولوزیس در ایران برای نخستین بار توسط خلیلی در مؤسسه رازی اهواز در محدوده سال های ۱۹۶۵ تا ۱۹۶۲ در میان گاو های اصیل از نژاد Syndhie و Jersaise موجود در گاوداری شرکت نفت آبادان شناسایی و گزارش گردید. واردات این دامها پیش از این تاریخ از انگلستان صورت پذیرفته بود (۲). جداسازی باکتری عامل بیماری در سال ۱۹۶۲ با موفقیت توسط طلاچیان انجام پذیرفت (۲۸). بهار صفت در سال ۱۹۷۲ پاراتوبرکولوزیس را در گله بز (نژاد نجدی) و گوسفند (نژاد آواسی) موسسه دامپروری حیدرآباد کرج که از اسرائیل وارد شده بودند گزارش و موفق به جداسازی عامل بیماری گردید (۲). برخی از پژوهشگران ایرانی منشاء پاراتوبرکولوزیس در ایران را واردات دام های آلوده و انتقال عامل بیماری از

ژنتیکی بدست آمده بصورت مستقیم برای تمام آزمایش‌های ژنومی استفاده گردید (۱۲).

آزمایش‌های ژنومی: در مجموع ۳ آزمایش مستقل در دو مرحله تعیین هویت و تایپینگ انجام گردید که همه آن‌ها بر اساس سیستم PCR اجرا گردیدند. در مرحله نخست به منظور تعیین هویت جدایه‌ها و سویه‌ها دو مارکر ژنتیکی هم ارز IS⁹⁰⁰ و F57 که در بین اعضای جنس مایکوباتریوم تنها در ژنوم باکتری‌های MAP یافت می‌شوند مورد استفاده قرار گرفتند. پروتکل پیشنهادی Dohmann (۹) با تغییرات اندک و در مورد PCR-F57 از روش Schonenbrucher (۱۷) همراه با اصلاحات کلی و از جمله یک زوج پرایمر جدید استفاده گردید. در مرحله دوم به منظور تعیین تیپ ژنتیکی باکتری‌ها (تیپ گوسفندی و یا گاوی) از پروتکل Collins همراه با اعمال تغییرات محدود در پروتکل اجرا استفاده شد.

برای طراحی پرایمر برنامه Primer ۳ (۳۶، ۳۰) مورد استفاده قرار گرفت (جدول ۱). برای این منظور حدود ۲ Kb از ژنوم MAP K1۰ در حريم لوکوس F57 در هر دو پهلوی آن به شکلی انتخاب گردید که لوکوس مورد نظر از نظر موقعیت تقریباً در میانه قرار گرفته باشد.

چهار پروتکل آمپلی فیکاسیون بصورت مستقل برای هریک از برای هر سه آزمایش PCR پیش بینی و به گونه‌ای تنظیم گردید که در هر پروتکل ۶ واکنش PCR با ۶ دمای مختلف annealing (۵۵، ۵۶/۷، ۵۹/۱، ۶۰/۴، ۶۲/۹ و ۶۴/۹ درجه سانتی‌گراد) اجرا گردید. در همین حال در دو پروتکل میزان پرایمر (۱۰ یا ۵ پیکومول) و در دو پروتکل میزان کلرید منزیزوم (۱ mM یا ۰.۵ mM) (۲.۵ mM) بعنوان متغیر اعمال گردید. ساخت پرایمرهای طراحی شده توسط شرکت ماکروژن کره جنوبی (Macrogen®, Korea) انجام گردید. در اجرای واکنش‌های PCR از روش master mix استفاده شد. حجم اجزاء در همه پروتکل‌ها به ترتیبی تنظیم گردید که حجم نهایی هر واکنش برابر با ۱۵ μL گردد. برای اجرای تمام آزمون‌های PCR از کیت تجاری آمپلیکوون (Ampliquor®, Denmark) استفاده شد. از آب مقطر دوبار تقطیر به عنوان کنترل منفی استفاده گردید.

برای الکتروفورز محصولات PCR از ژل ۱.۵% آگاروز (, Invitrogen® USA) از درجه مولکولار بیولوژی پیش رنگ شده با Red Safe استفاده گردید. ژل‌ها پس از بارگذاری، به مدت ۲ ساعت در میدان الکتریکی به قدرت ۲ V/cm رانده شدند. عکسبرداری از ژل در دستگاه ژل داک (BioRad®, USA) (انجام گردید. به عنوان DNA size marker استاندارد از یک محصول استاندارد شده ساخت مؤسسه رازی (۱۹) استفاده گردید تا امکان تعیین اندازه تقریبی محصولات PCR فراهم شود.

انتخاب پروتکل دما و اجزاء ایده آل در واکنش‌های PCR

یافته‌های مربوط به الکتروفورز واکنش‌های طراحی شده چهارگانه مربوط به لوکوس‌ها بصورت انفرادی و همچنین در کنار سایر لوکوس‌ها مورد بازبینی قرار گرفتند و امکان استفاده از یک و یا چند پروتکل جامع قابل اجرا از نظر دما و غلظت اجزاء (منزیزوم کلراید و پرایمرها) برای همه لوکوس‌ها بررسی گردید. بدین ترتیب در مجموع از ۲ پروتکل برای اجزای واکنش‌های PCR (پروتکل نخست در مورد IS⁹⁰⁰ و F57 و پروتکل دوم در مورد آزمایش Collins استفاده شد. میزان master mix DMSO و در هر سه پروتکل به ترتیب برابر با ۰/۶ و ۰/۷ میکرولیتر بود. در پروتکل

دوره انکوباسیون بسیار طولانی و کندی رشد آزمایشگاهی باکتری در جداسازی اولیه به ویژه در مورد جدایه‌های انسانی و گوسفندی که تا بشی از یکسال می‌تواند بطول انجامد (۲۹) در کنار نیاز باکتری به وجود مکمل آهن (j) (mycobactin) در محیط کشت آزمایشگاهی، امکان بررسی اپیدمیولوژیکی این پاتوژن در مقیاس مولکولی را محدود به تعداد کمتری از آزمایشگاهی‌های تخصصی باکتری شناسی می‌نماید.

در سال‌های اخیر به منظور فراهم نمودن امکان تشخیص MAP با استفاده از روش‌های مولکولار بیولوژی، تعدادی پروتکل PCR بر مبنای مارکرهای ژنتیکی اختصاصی MAP معرفی شده‌اند که از میان آن‌ها می‌توان به IS⁹⁰⁰ (۳۴)، F57 (۳۴)، locus (۲۵) ISMav2 (۲۶)، HspX (۲۲) و اشاره نمود.

وجود سویه‌های متمایز MAP دارای ویژگی‌های متفاوت فوتیپیکی از دهه ۱۹۳۰ میلادی مورد توجه قرار گرفته است اما آگاهی از تفاوت‌های ژنتیکی میان سویه‌های این باکتری تنها در سایه دستیابی بر تکنیک‌های جدید امکان پذیر شده است (۲۵). بررسی‌های ژنتیکی بین المللی وجود دو تیپ اصلی را در میان سویه‌های MAP نشان داده‌اند که بنام تیپ ۱ یا گوسفندی (S=sheep) و تیپ ۲ یا گاوی (C=cattle) شناخته می‌شوند (۱۳). تمايز میان این تیپ‌ها با استفاده از روش‌های ژنتیکی مختلف امکان پذیر گردیده است (۲۵، ۶، ۴). تشخیص افتراقی میان این سویه‌ها توسط سه روش PCR-REA RFLP, PFGE, IS¹³¹¹-IS⁹⁰⁰ با این حال در سال ۲۰۰۲ امکان تمايز میان سویه‌های تیپ ۱ و تیپ ۲ با استفاده از یک PCR تک مرحله ای امکان پذیر گردید (۶).

در مطالعه حاضر با هدف افزایش دانش اپیدمیولوژیک موجود از MAP در ایران، وجود دو مارکر ژنتیکی IS⁹⁰⁰ و F57 در ژنوم جدایه‌های کلینیکی ایرانی و دو سویه واکسینال MAP موجود کلکسیون میکروبی مؤسسه رازی مورد بررسی قرار گرفته است ضمن آنکه با استفاده از روش Collins هوتیت این باکتری‌ها از نظر تیپ ژنتیکی آن‌ها مورد بررسی قرار گرفته است.

مواد و روش‌ها

جدایه‌ها و سویه‌های مورد بررسی در تحقیق

تعداد ۴ جدایه گوسفندی و ۳ جدایه بزی MAP از استان اصفهان همراه با ۳ جدایه گاوی این باکتری از استان زنجان و همچنین ۳ جدایه MAP دیگر گاوی از استان البرز همراه با ۲ سویه آزمایشگاهی واکسینال III&V در این بررسی مورد استفاده قرار گرفتند. جدایه‌های حاد کلینیکی پیش از این در طول سال‌های ۱۳۹۱-۳ از مدفوع و نمونه‌های کلینیکی پاتولوژیک در آزمایشگاه مایکوباتریولوژی مؤسسه رازی جداسازی شده بودند. از دو سویه واکسینال فوق در مؤسسه رازی برای تهیه و تولید پاراتوبرکولین استفاده می‌شود.

کشت باکتری و استخراج ماده ژنتیکی: به منظور تهیه میزان کافی رشد باکتری جهت دستیابی به ماده ژنتیکی مورد نیاز، هر یک از جدایه‌ها و سویه‌های مورد مطالعه بر روی دو لوله کشت فالکون ۵۰ میلی لیتری محتوی محیط کشت Herold's egg-yolk medium غنی شده با mycobactin J تجدید کشت گردید. انکوباسیون به مدت ۱۲-۸ هفت‌ه در دمای ۳۷°C و تا زمان دستیابی به رشد مشهود باکتری صورت پذیرفت. برای استخراج ژنوم باکتری از روش ساده جوشانیدن استفاده شد و ماده

اختصاصی هم ارز IS⁹⁰⁰ و F57 استفاده گردید. از طرف دیگر بسیاری از پروتکل های PCR-IS⁹⁰⁰ (۲۱) و تقریبا همه پروتکل های مربوط به PCR-F57 (۳) موجود به منظور استفاده از آن ها در ماشین های Real-time PCR طراحی گردیده اند که به جهت قیمت تمام شده بالاتر در مقایسه با ماشین های PCR متعارف، انجام آن ها در بسیاری از آزمایشگاه های باکتری شناسی دامپزشکی امکان پذیر نیست. علاوه بر این اندازه قطعات ژنتیکی پیش بینی شده در Real-time PCR در اکثر موارد کوچک و کمتر از ۱۰۰ bp می باشند که عموما شناسایی و کار با آن ها در سیستم ژل الکتروفورز آسان نیست. بر همین اساس در مطالعه حاضر با طراحی یک زوج پرایمر جدید امکان شناسایی مارکر ژنتیکی F57 از طریق تکثیر یک قطعه به طول bp ۷۰-۴ با ماشین PCR متعارف فراهم گردید.

اجرای آزمایشات سه گانه تعیین هویت و تعیین تیپ ژنتیکی بر روی ۱۳ جدایه کلینیکی و ۲ سویه واکسینال موجود در مؤسسه رازی ضمن تایید شناسایی آن ها به عنوان باکتری های MAP نشان داد که همه آن ها متعلق به تیپ گاوی (Type II) هستند. جداشدن تیپ گاوی از گوسفند و بز اگرچه در خارج ایران پیش از گزارش گردیده است. به عنوان مثال در یونان (۱۳)، کانادا (۱۱) و اسپانیا (۷) با اینحال جداشدن این تیپ از MAP از هر سه میزبان گاو، گوسفند و بز در مناطق مختلف جغرافیایی ایران (اصفهان، زنجان و البرز) در مطالعه حاضر می تواند از نظر اپیدمیولوژی بیماری حائز اهمیت باشد و بدین ترتیب توسعه مطالعه حاضر و استفاده از جدایه های کلینیکی بیشتر در مطالعات بعدی توصیه می گردد.

یکی دیگر از یافته های کاربردی مطالعه حاضر موفقیت در معروفی یک پروتکل واحد جهت اجرای هر سه آزمایش PCR-IS⁹⁰⁰ و PCR-F57 و Collins بود که می تواند از نظر زمان انجام آزمایش و سرعت دستیابی به پاسخ مورد نظر مورد توجه قرار گیرد.

نتیجه گیری

مارکرهای ژنتیکی اختصاصی مانند F57 و IS⁹⁰⁰ می توانند در شناسایی و تشخیص افتراقی باکتری های نظیر MAP که کشت آزمایشگاهی آن ها بدليل نیاز به مکمل های رشد و همچنین دوره انکوباسیون طولانی به سادگی امکان پذیر نیست کمک کنند. از دو تیپ اصلی گاوی (Type II) و گوسفندی MAP (Type I) تیپ گاوی با تنوع میزبانی در ایران وجود دارد اما آگاهی از وجود تیپ گوسفندی منوط به انجام مطالعات دیگر اپیدمیولوژیک می باشد.

تشکر و قدردانی

هزینه های انجام این مطالعه به طور کامل توسط مؤسسه تحقیقات واکسن و سرم سازی رازی در قالب پروژه تحقیقاتی به شماره ۹۴۱۰۶-۱۸-۲-۱۸ تامین و پرداخت شده است. شانزدهم دی ۱۳۹۴ مصادف با نومندین سالگرد تاسیس مؤسسه تحقیقات واکسن و سرم سازی رازی گرامی داشته می شود.

منابع مورد استفاده

- 1- Ansari-Lari M, Haghkhah M, Bahramy A, and Novin Baheran AM. (2009). Risk factors for *Mycobacterium avium* subspecies

نخست ۰/۵ میکرولیتر از هر کدام از دو پرایمر، ۴ میکرولیتر از نمونه DNA و ۱/۹ میکرولیتر از آب مقطر دوبار تقطیر و در پروتکل دوم با توجه به حضور پرایمر سوم میزان آب مقطر به ۱/۴ میکرولیتر کاهش یافت. در مورد اجرای مراحل واکنش های PCR از یک پروتکل واحد استفاده شد. این پروتکل شامل یک مرحله اولیه گرمایش به مدت ۵ دقیقه در دمای ۹۵°C و بدنبال آن ۴۰ ثانیه از یک چرخه سه مرحله ای مشتمل بر گرمایش در دمای ۹۵°C به مدت ۳۰ ثانیه، گرمایش در دمای ۶۱°C به مدت ۳۰ ثانیه و سپس ۷۲°C به مدت ۴۵ ثانیه و در نهایت یک مرحله گرمایش ۷۲°C به مدت ۱۰ دقیقه، گردید.

نتیج

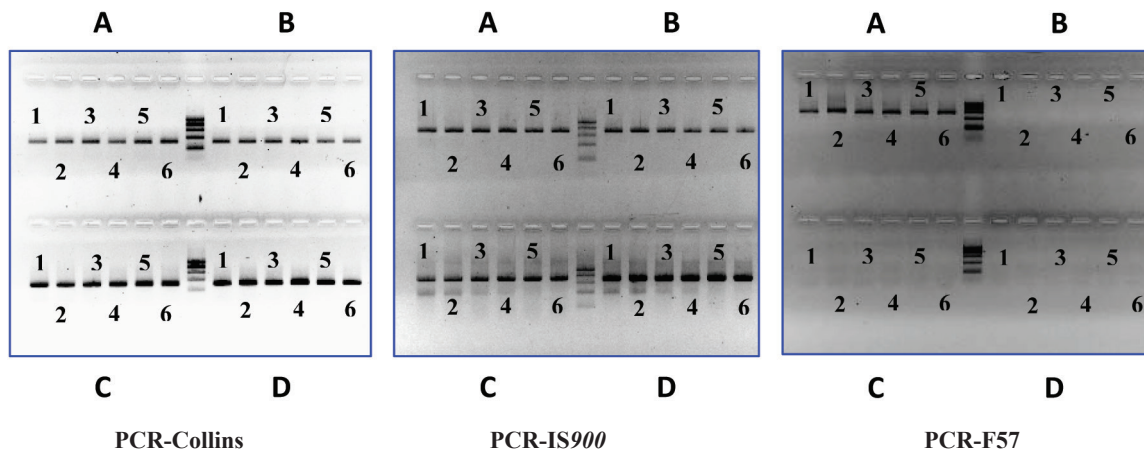
اعمال روش ابتکاری بهینه سازی PCR باعث گردید انجام همه آزمایش های مولکولی مورد استفاده در این تحقیق اعم از آزمایش های تعیین هویت و همچنین آزمایش های ژنتیکی پینگ Collins با استفاده از بهترین پروتکل اجرایی ممکن از نظر دمای annealing، غلظت کلرید منیزیوم و همچنین میزان پذیر گردد (شکل ۱). در آزمایش PCR-IS⁹⁰⁰ و PCR-F57 و PCR-Collins با اجرای پروتکل بهینه شده بر روی ژنوم استخراج شده هر ۱۳ جدایه کلینیکی و هر دو سویه واکسینال قطعاتی به طول به ترتیب bp ۵۶۰ و bp ۷۰۴ و bp ۳۱۰ تولید گردیدند که بدین ترتیب هویت سویه تحت آزمون به عنوان MAP و تیپ آن ها به عنوان type ۲ (گاوی) مورد تأیید قرار گرفت (شکل ۲).

بحث و نتیجه گیری

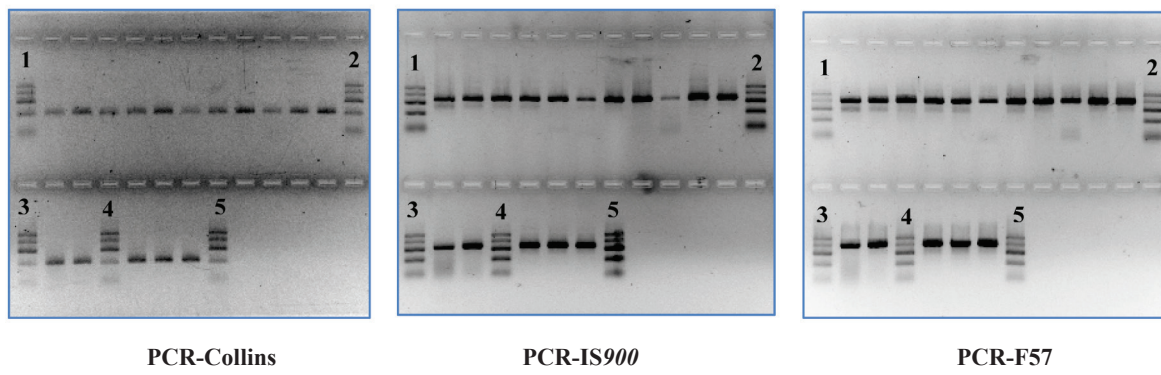
در حال حاضر کشت میکروبی بر روی محیط کشت اختصاصی جامد حساس ترین و اختصاصی ترین روش تشخیص پاراتوبرکولوزیس در دام ها می باشد و بر همین اساس به عنوان روش مینا (gold standard) در تشخیص این بیماری شناخته می شود (۲۴). با این وجود اجرای کشت میکروبی به زمان زیاد و عملیات آزمایشگاهی گسترش دهنده نیاز دارد که در برنامه های تشخیص با حجم زیاد نمونه کاربردی نخواهد بود. بنابراین روش های شناسایی مستقیم باکتری با استفاده از PCR راهکار جایگزین مناسب خواهد بود. توانایی در تعیین هویت دقیق سویه ها و جدایه های میکروارگانیزم ها یکی از مبانی اصلی و الزامات فعالیت و تحقیق در مراکز پژوهشی و تولیدی بیولوژیک می باشد. علیرغم اختصاصی بودن مارکر IS⁹⁰⁰ بدليل مشابهت زیاد میان این مارکر و احدهای ژنتیکی شناخته شده مشابه که به عوامل شبه IS⁹⁰⁰ شهرت دارند (۱۰)، استفاده از این مارکر بصورت انفرادی می تواند در برخی موارد سبب بروز نتایج نادرست گردد (۱۰). در سال ۲۰۰۲ جداسازی یک سویه مایکروبیک اکتریوم از یک گاو ماده سالم گزارش گردید که در ژنوم آن یک قطعه ژنتیکی با ۹۴٪ مشابهت با IS⁹⁰⁰ یافت گردید (۱۰). بر همین اساس تنها در اینگونه موارد انجام آزمون تعیین توالی نوکلئوتید های قطعه بدست آمده و یا استفاده از دیگر مارکرهای ژنتیکی اختصاصی MAP امکان احراز هویت واقعی جدایه های این باکتری را فراهم خواهد نمود. در مطالعه حاضر با توجه به اهمیت این موضوع و همچنین با در نظر گرفتن پیشینه نسبتا طولانی حضور سویه های واکسینال مایکروبیک اکتریوم ۳۱۶F MAP در MAP III&V کنار سویه آزمایشگاهی مایکروبیک اکتریوم آبیوم زیر گونه آبیوم D4 در مؤسسه رازی و نگرانی از بروز احتمالی cross contamination از دو مارکر ژنتیکی

جدول ۱- جزئیات پرایمرهای مربوط به لوکوس ها و مناطق ژنتیکی مورد استفاده در تحقیق حاضر. موقعیت مکانی نوکلئوتیدها و اندازه محصولات PCR مربوط به هر لوکوس بر اساس ژنوم سویه استاندارد MAP K10 (۳۵) ذکر شده اند.

Locus/primer	('۳ → '۵) Nucleotide sequence	Start	Stop	Expected size (bp)	Reference (s)
IS900f	TTC TTG AAG CGT GTT CGG GGC C	۳۹۸۱۵	۳۹۸۳۶	۵۶۰	(۹)
IS900r	GCG ATG ATC GCA GCG TCT TTG G	۴۰۲۵۳	۴۰۳۷۴		
F57f	ACC GAA TGT TGT TGT CAC CG	۸۸۶۷۷۴	۸۸۶۷۹۳	۷۰۴	مطالعه حاضر
F57r	GGA CAC CGA AGC ACA CTC TC	۸۸۷۴۵۸	۸۸۷۴۷۷		



شکل ۱- بهینه سازی فرآیند PCR در مورد آزمایش های PCR-Collins و PCR-IS900 و PCR-F57. نتایج ژل الکتروفورز محصولات آمپلی فیکاسیون مربوط به پروتکل های A, B, C, D. اعداد ۱ تا ۶ گرادیان دمایی مرحله annealing را به ترتیب برابر با ، ۰۶/۱، ۷۵/۶، ۵۵/۹، ۱۶/۴ و ۳۶/۹ درجه سانتیگراد نشان می دهند. در هر واکنش PCR در سری A و B یک پیکومول از هر پرایمر وجود دارد و میزان همین پرایمرها در مورد سری های C و D برابر با پنج پیکومول می باشد. در ارتباط با میزان $MgCl_2$ ، غلظت این ترکیب در سری های B و D برابر با یک میلی مولار و غلظت همین ترکیب در واکنش های سری A و C برابر با ۲/۵ میلی مولار می باشد. DNA size marker مورد استفاده دارای ۵ باند در محدوده ۱۰۰ الی ۱۰۰۰ bp (PCR-Collins) و یا ۲۰۰ الی ۹۰۰ bp (PCR-F57 & PCR-IS900) می باشد.



شکل ۲- الکتروفورز محصولات PCR مربوط به لوکوس های PCR-Collins و PCR-IS900 و PCR-F57 بر روی ژل آگاروز ٪۲.۱. ستون های شماره گذاری شده با اعداد ۱-۵ مربوط به بکار رفته می باشند که دارای ۵ باند DNA size marker bp در محدوده ۱۰۰ الی ۹۰۰ bp می باشد ستون های ردیف بالا و سه ستون انتهایی پایین مربوط به جدایه های کلینیکی و دو ستون ابتدایی ردیف پایین به ترتیب مربوط به سوبه های MAP 316F و MAP III & V مورد بررسی در این تحقیق می باشند.

paratuberculosis in fars province (southern Iran) dairy herds. Tropical animal health and production. 41(4): 553-557.

2- Baharsefat M, Amjadi A, Ahourai P, Yamini B, Entesar F, and Hedayati H. (1972). Paratuberculosis in goats and sheep in Iran, epidemiological, clinical, pathological features and laboratory diagnosis. Archive of Razi Institute. 24(49-61).

3- Bosshard C, Stephan R, and Tasara T. (2006). Application of an f57 sequence-based real-time pcr assay for *Mycobacterium paratuberculosis* detection in bulk tank raw milk and slaughtered healthy dairy cows. Journal of food protection. 69(7): 1662-1667.

4- Castellanos E, Aranaz A, Romero B, De Juan L, Alvarez J, Bezos J, Rodriguez S, Stevenson K, Mateos A et al. (2007). Polymorphisms in gyra and gyrb genes among *Mycobacterium avium subsp. paratuberculosis* type I, II, and iii isolates. Journal of clinical microbiology. 45(10): 3439-3442.

Chiodini R. The history of paratuberculosis. in8ICP 2005. 2005.

6- Collins DM, De Zoete M, and Cavaignac SM. (2002). *Mycobacterium avium subsp. paratuberculosis* strains from cattle and sheep can be distinguished by a pcr test based on a novel DNA sequence difference. Journal of clinical microbiology. 40(12): 4760-4762.

7- De Juan L, Alvarez J, Aranaz A, Rodriguez A, Romero B, Bezos J, Mateos A, and Dominguez L. (2006). Molecular epidemiology of types i/iii strains of *Mycobacterium avium subspecies paratuberculosis* isolated from goats and cattle. Veterinary microbiology. 115(1-3): 102-110.

8- Dilmaghani M, Yousefbeygi G, Kazemnia A, and Esmailnejad B. (2012). Detection of *Mycobacterium avium subsp. paratuberculosis* in cows from Urmia region. Veterinary Journal (Pajouhesh & Sazandegi). 93): 13-17.

9- Dohmann K, Strommenger B, Stevenson K, De Juan L, Stratmann J, Kapur V, Bull TJ, and Gerlach GF. (2003). Characterization of genetic differences between *Mycobacterium avium subsp. paratuberculosis* type i and type ii isolates. Journal of clinical microbiology. 41(11): 5215-5223.

10- Englund S, Bolske G, and Johansson KE. (2002). An IS900-like sequence found in a mycobacterium sp. Other than *Mycobacterium avium subsp. paratuberculosis*. FEMS microbiology letters. 209(2): 267-271.

11- Forde T, Kutz S, De Buck J, Warren A, Ruckstuhl K, Pybus M, and Orsel K. (2012). Occurrence, diagnosis, and strain typing of *Mycobacterium avium subsp. paratuberculosis* infection in rocky mountain bighorn sheep (*Ovis canadensis canadensis*) in southwestern Alberta. Journal of wildlife diseases. 48(1): 1-11.

12- Karimnasab N, Tadayon K, Khaki P, Moradi Bidhendi S, Ghaderi R, Sekhavati M, and Asadi F. (2013). An optimized affordable DNA-extraction method from *Salmonella enterica enteritidis* for pcr experiments. Archives of Razi Institute. 68(2): 105-109.

13- Liapi M, Botsaris G, Slana I, Moravkova M, Babak V, Avraam M, Di Provvido A, Georgiadou S, and Pavlik I. (2015). *Mycobacterium avium subsp. paratuberculosis* sheep strains isolated from cyprus sheep and goats. Transboundary and emerging diseases. 62(2): 223-227.

14- Mobius P., Hotzel H., Rassbach A., and Kohler H. (2008). Comparison of 13 single-round and nested pcr assays targeting IS900, ismv2, f57 and locus 255 for detection of *Mycobacterium avium subsp. paratuberculosis*. Veterinary microbiology. 126(4): 324-333.

15- Momotani E. (2012). Epidemiological situation and control

- strategies for paratuberculosis in japan. The Japanese journal of veterinary research. 60 Suppl (S19-29).
- 16- Sadati R, Jafarpour M, Mirinargesi M, Nazemi A, and Barghi A. (2012). Prevalence of *Mycobacterium avium* subsp. *paratuberculosis* in dairy cattle bred in northern Iran by nested pcr. Global Vet. 8(3): 259-263.
- 17- Schonenbrucher H, Abdulmawjood A, Failing K, and Bulte M. (2008). New triplex real-time pcr assay for detection of *Mycobacterium avium* subsp. *paratuberculosis* in bovine feces. Applied and environmental microbiology. 74(9): 2751-2758.
- 18- Sechi LA and Dow CT. (2015). *Mycobacterium avium* subsp. *paratuberculosis* zoonosis - the hundred year war - beyond crohn's disease. Frontiers in immunology. 6(96).
- 19- Sekhavati M, Tadayon K, Ghaderi R, Banihashemi R, Jabbari AH, Shokri GH and Karimnasab N. (2015). "In-house" production of DNA size marker from a vaccinal *Bacillus anthracis* strain. Iranian Journal of Microbiology. 7(1): 45-49.
- 20- Shahmoradi AH, Arefpajohi R, Tadayon K, and Mosavari N. (2008). Paratuberculosis in holstein-friesian cattle farms in central Iran. Tropical animal health and production. 40(3): 169-173.
- 21- Sidoti F, Banche G, Astegiano S, Allizond V, Cuffini AM, and Bergallo M. (2011). Validation and standardization of IS900 and f57 real-time quantitative pcr assays for the specific detection and quantification of *Mycobacterium avium* subsp. *paratuberculosis*. Canadian journal of microbiology. 57(5): 347-354.
- 22- Singh AV, Chauhan DS, Singh A, Singh PK, Sohal JS, and Singh SV. (2015). Application of is1311 locus 2 pcr-reia assay for the specific detection of 'bison type' *Mycobacterium avium* subsp. *paratuberculosis* isolates of indian origin. The Indian journal of medical research. 141(1): 55-61.
- 23- Sohal JS, Singh SV, Singh AV, and Singh PK. (2010). Strain diversity within *Mycobacterium avium* subsp. *paratuberculosis* -a review. Indian journal of experimental biology. 48(1): 7-16.
- 24- Stabel JR. (1997). An improved method for cultivation of *Mycobacterium paratuberculosis* from bovine fecal samples and comparison to three other methods. Journal of veterinary diagnostic investigation : official publication of the American Association of Veterinary Laboratory Diagnosticicians, Inc. 9(4): 375-380.
- 25- Stevenson K. (2015). Genetic diversity of *Mycobacterium avium* subsp. *paratuberculosis* and the influence of strain type on infection and pathogenesis: A review. Veterinary research. 46: 64.
- 26- Sting R, Hrubenja M, Mandl J, Seemann G, Salditt A, and Waibel S. (2014). Detection of *Mycobacterium avium* subsp. *para-*
tuberculosis in faeces using different procedures of pre-treatment for real-time pcr in comparison to culture. Veterinary journal (London, England) : 1997). 199(1): 138-142.
- 27- Taddei S, Robbi C, Cesena C, Rossi I, Schiano E, Arrigoni N, Vicenzoni G, and Cavigani S. (2004). Detection of *Mycobacterium avium* subsp. *paratuberculosis* in bovine fecal samples: Comparison of three polymerase chain reaction-based diagnostic tests with a conventional culture method. Journal of veterinary diagnostic investigation : official publication of the American Association of Veterinary Laboratory Diagnosticicians, Inc. 16(6): 503-508.
- 28- Talatchian M. (1965). First report of johne's disease in iran. Bulletin - Office international des epizooties. 64: 779-782.
- 29- Thibault VC, Grayon M, Boschioli ML, Hubbans C, Overduin P, Stevenson K, Gutierrez MC, Supply P, and Biet F. (2007). New variable-number tandem-repeat markers for typing *Mycobacterium avium* subsp. *paratuberculosis* and m. Avium strains: Comparison with IS900 and is1245 restriction fragment length polymorphism typing. Journal of clinical microbiology. 45(8): 2404-2410.
- 30- Untergasser A, Cutcutache I, Koressaar T, Ye J, Faircloth BC, Remm M, and Rozen SG. (2012). Primer3--new capabilities and interfaces. Nucleic acids research. 40(15): e115.
- 31- Waddell LA, Rajic A, Stark KD, and Mc ES. (2015). The zoonotic potential of *Mycobacterium avium* ssp. *paratuberculosis*: A systematic review and meta-analyses of the evidence. Epidemiology and infection. 1-23.
- 32- Windsor PA. (2015). Paratuberculosis in sheep and goats. Veterinary microbiology.
- 33- Wolf R, Barkema HW, De Buck J, Slomp M, Flraig J, Haupstein D, Pickel C, and Orsel K. (2014). High herd-level prevalence of *Mycobacterium avium* subsp. *paratuberculosis* in western canadian dairy farms, based on environmental sampling. Journal of dairy science. 97(10): 6250-6259.
- 34- Wolf R, Orsel K, De Buck J, and Barkema HW. (2015). Calves shedding *Mycobacterium avium* subsp. *paratuberculosis* are common on infected dairy farms. Veterinary research. 46: 71.
- 35- Wynne JW, Seemann T, Bulach DM, Coutts SA, Talaat AM, and Michalski WP. (2010). Resequencing the *Mycobacterium avium* subsp. *paratuberculosis* k10 genome: Improved annotation and revised genome sequence. Journal of bacteriology. 192(23): 6319-6320.
- 36- Ye J, Coulouris G, Zaretskaya I, Cutcutache I, Rozen S, and Madden TL. (2012). Primer-blast: A tool to design target-specific primers for polymerase chain reaction. BMC Bioinformatics. 13: 134.

